



سال هفدهم، شماره‌ی ۵۸  
تابستان ۱۳۹۶، صفحات ۴۷-۲۵

دانشگاه آزاد اسلامی واحد اهر  
فصلنامه‌ی علمی-پژوهشی فضای جغرافیایی

\*یوسف قویدل رحیمی<sup>۱</sup>  
منوچهر فرج زاده اصل<sup>۲</sup>  
مهندی عالی جهان<sup>۳</sup>

## ارزیابی اثر ناهنجاری‌های کره زمین بر دماهای متوسط ماهانه و فصلی ایران

تاریخ دریافت: ۱۳۹۳/۰۹/۲۴ تاریخ پذیرش: ۱۳۹۳/۰۹/۲۰

### چکیده

اگرچه وجود یا عدم وجود تغییر اقلیم جای بحث دارد، اما تقریباً همه اقلیم‌شناسان گرمایش جهانی را به عنوان یک معضل و مخاطره اقلیمی قبول دارند. به دلیل اهمیت این موضوع، پژوهش پیش‌رو جهت ارزیابی میزان تأثیر گرمایش جهانی بر روی دماهای متوسط، به صورت ماهانه و دوره‌ای (سرد و گرم) انجام گرفته است. برای انجام این پژوهش از دو دسته داده، داده‌های دمای ۱۷ ایستگاه سینوپتیک کشور و مقادیر متناظر آن، داده‌های شاخص ناهنجاری‌های متوسط دمایی خشکی‌ها و اقیانوس‌های کره زمین طی بازه زمانی ۶۰ ساله (۲۰۱۰-۱۹۵۱) میلادی استفاده شده است. جهت انجام این پژوهش از روش همبستگی پیرسون برای محاسبه ارتباط بین داده‌ها، از روش روند خطی جهت تحلیل مؤلفه روند سری زمانی داده‌ها، برای نشان دادن پراکندگی مکانی همبستگی بین داده‌های دمای ایستگاه‌ها با گرمایش جهانی در سطح کشور از مدل زمین آمار و در نهایت جهت تشخیص معناداری روند تغییر دمایها از آزمون ناپارامتری من-کنداش استفاده گردیده است. با توجه به نتایج به دست آمده همه ایستگاه‌های مطالعاتی به غیر از ارومیه و خرم‌آباد روندی افزایشی در دمای متوسط را تجربه می‌کنند. بیشترین تأثیر گرمایش جهانی از ماه آوریل تا اکتبر مشاهده می‌گردد که در این بین ماه‌های تابستان نسبت به سایر ماه‌ها از ضریب همبستگی بالاتری برخوردار

---

E-mail: ghavidel@modares.ac.ir

\*- گروه جغرافیای طبیعی، دانشگاه تربیت مدرس (نویسنده مسئول).

- گروه جغرافیای طبیعی، دانشگاه تربیت مدرس.

- دانش آموخته کارشناسی ارشد آب و هواشناسی کاربردی، دانشگاه تربیت مدرس.

بوده و نشان از افزایش دمای متوسط تابستانه دارد. فرآیند ذکر شده در بررسی‌های تحلیل سری زمانی و تغییر روند دمایی صورت گرفته نیز کاملاً مشهود بوده و تغییر روند صورت گرفته در بیشتر ماهها کاملاً معنی دار بوده و تغییر در روند دمای متوسط صورت گرفته را تصدیق می‌کند. نتایج حاصل از تحلیل‌های رابطه دمای متوسط دوره‌های سرد و گرم با شاخص ناهنجاری‌های متوسط دمایی خشکی‌ها و اقیانوس‌های کره زمین گویای رابطه معنادار قوی دوره گرمایی نسبت به دوره سرد است. تغییر روند دمایی صورت گرفته در هر دو دوره مطالعاتی براساس نتایج حاصله کاملاً معنادار می‌باشد.

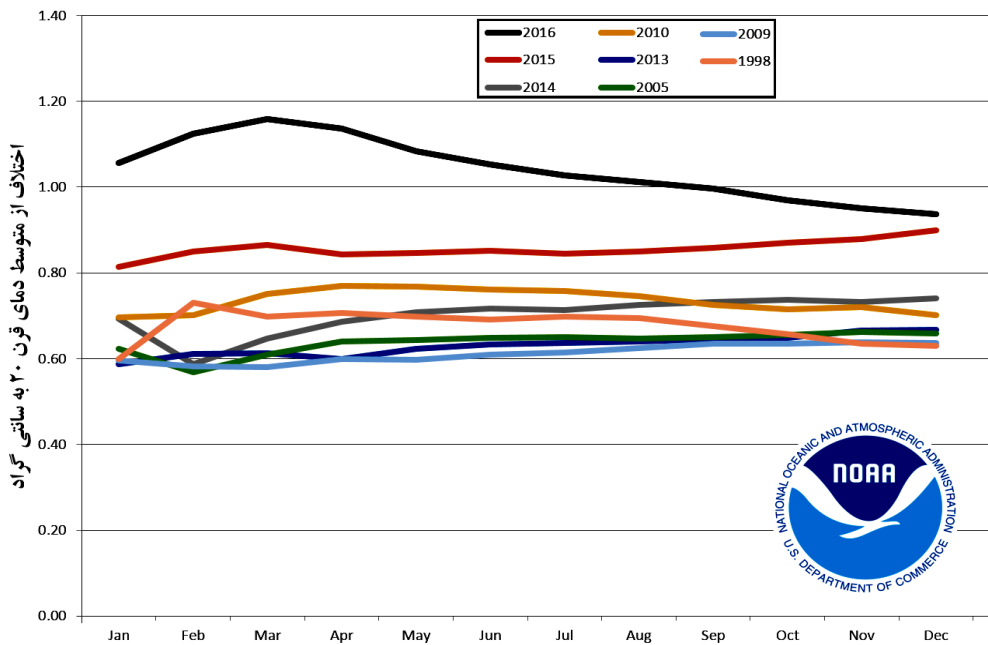
**کلید واژه‌ها:** حساسیت پذیری، گرمایش جهانی، دمای متوسط، آزمون من-کن达尔، ایران.

#### مقدمه

گرمایش جهانی یکی از مهم‌ترین چالش‌های محیطی دنیای معاصر است که تمام شئونات زندگی انسان بر روی سیاره زمین را تحت تاثیر خود قرار داده است. علت گرمایش جهانی در بین علمای اقلیم‌شناسی محل بحث است و برخی آن را به فعالیت‌های انسانی در قرون اخیر و بعضی دیگر آن را طبیعی می‌دانند، لیکن اثرات مخرب آن بر کسی پوشیده نیست. عده‌ای ادعا می‌کنند که این نوسانات تحت تأثیر یک فرآیند طبیعی اتفاق می‌افتد که تاریخ سیاره زمین آن را رقم می‌زند (تومیجک، ۲۰۱۲: ۸). نوسانات اقلیمی بسیار محسوس هستند. این نوسانات موجب ایجاد افت و خیزهایی بین دوره‌های سرما و گرم‌گردیده است (بابایی، ۱۳۹۱: ۵۵۲).

اساساً بیشترین بخش از آن‌چه که تحت عنوان گرمایش جهانی (که بیشتر مورد اقبال دانشمندان است) یا تغییر آب و هوای می‌شود، شامل تغییرات غالباً گرمایشی و روند صعودی مؤلفه‌های سه‌گانه (شامل حد متوسط، کمینه و بیشینه) دمای هوا می‌باشد. گرمایش جهانی احتمال وقوع مخاطرات دمایی فرین مثل امواج گرمایی را از مخاطرات دمایی عادی (افزایش متوسط دمای ماهانه، سالانه، فصلی) بیشتر کرده است. در نتایج ارزیابی وضع فعلی و آینده آب و هوای جهان خصوصاً وضعیت دمایی دوره زمانی ۱۹۸۱-۲۰۱۲ که در گزارش هیأت بین‌الدول تغییر اقلیم سال ۲۰۱۳ درج گردیده، مشخص شده که دمای کل خشکی‌ها نسبت به دوره‌های گرمایش قبلی ۱۹۴۰ و ۱۹۸۰-۱۹۵۱ با روند شدیدتری افزایش و گرم‌تر شده است.

سال ۲۰۱۵ یک سال استثنایی و فوق العاده گرم برای کره زمین محسوب می‌شد؛ اما در سال ۲۰۱۶ گرم‌ترین سال کره زمین در سال‌های اخیر به ثبت رسید. اکثر مخاطرات جوئی سال‌های اخیر با گرمایش سال‌های اخیر در ارتباط هستند (شکل ۱).



شکل ۱: مقایسه افزایش دمای ماهانه سال ۲۰۱۶ نسبت به گرم‌ترین سال‌های کره زمین (NOAA, 2017)

امروزه به منظور تحلیل نوسانات اقلیمی توجه خاصی به سری‌های زمانی دمایی معطوف شده است. دما از مهم‌ترین عناصر اقلیمی است که در تعیین نقش و پراکندگی دیگر عناصر اقلیمی نیز موثر بوده و از مؤلفه‌های اصلی در پهنه‌بندی و طبقه‌بندی‌های اقلیمی محسوب می‌شود و از این‌رو نوسانات و تغییرپذیری آن دارای اهمیت علمی-کاربردی است (خوشحال دستجردی و قویدل رحیمی، ۱۳۸۷: ۲۳). ایران به‌دلیل موقعیت جغرافیایی خاصی که دارد می‌تواند تحت تأثیر گرمایش جهانی قرار بگیرد؛ بنابراین لزوم مطالعه این پدیده بسیار حیاتی و تاثیرات آن بر دمای متوسط کشورمان بسیار حائز اهمیت بوده و در برنامه‌ریزی برای دهه‌های بعد از ارزش بسزایی برخوردار است. با توجه به تحقیقات صورت گرفته و پیشینه مطالعاتی، پژوهشی در راستای اثرات ناهنجاری‌های دمایی کره زمین بر روی دما در سطح جهانی صورت نگرفته و در داخل کشور نیز فقط علیجانی و قویدل رحیمی (۱۳۸۴: ۲۲) و خوشحال دستجردی و قویدل رحیمی (۱۳۸۷: ۳۱)، این مهم را مورد توجه قرار داده و آن را مورد مطالعه قرار داده‌اند؛ اما تحقیقات مشابهی در همین راستا که منوط به تحلیل سری زمانی داده‌های دما به‌وسیله روش‌های آماری می‌باشد به انجام رسیده که در این نوشتار مورد توجه قرار گرفته و به شرح مختصراً درباره فراز و فرود کارهای یاد شده پرداخته می‌شود. تورکش<sup>۴</sup> و همکارانش (۹۴۷: ۲۰۰۲)، به بررسی نوسانات دمای (حداقل، متوسط و حداکثر) ترکیه پرداختند. گادگیل و دورد<sup>۵</sup> (۶۵۵۰: ۲۰۰۵)، روند سالانه دماهای بیشینه و کمینه قرن ۲۰ را در پونای هند مورد بررسی قرار دادند. برونستی<sup>۶</sup> و همکاران (۲۰۰۵: ۱۴۱)، در تحقیقی با استفاده از روش من کندال نوسانات دو عنصر

4- Turkes

5- Gadgil & Dhorde

6- Brunettia

دما و بارش قرن گذشته ایتالیا را مطالعه کردند. بین دومی<sup>۷</sup> (۲۰۰۵: ۱۵)، تغییرات دما و بارش در اردن را با استفاده از روش همبستگی و روش من-کنдал مورد ارزیابی قرار داده است. بارسولی و پونگراز<sup>۸</sup> (۲۰۰۷: ۸۳)، طی دوره ۱۹۴۶ تا ۲۰۰۱ به بررسی و تحلیل شاخص‌های حداکثری دما و بارش در حوضه کارپتین لهستان پرداخته‌اند. چائوچه<sup>۹</sup> و همکاران (۲۰۱۰: ۲۳۴)، با استفاده از روش من-کنдал تغییرات بارش، دما و تبخیر و تعرق در بخش مدیترانه‌ای فرانسه را ارزیابی کردند. یانگ<sup>۱۰</sup> و همکاران (۲۰۱۲: ۱۹۶۶)، روند سری زمانی ۵۳ ساله بارش و دما را به‌وسیله آزمون ناپارامتری من-کنдал در حوضه رودخانه ژانگ وینان مورد تحلیل قرار دادند.

نتایج پژوهش محمدی و تقی (۱۳۸۴: ۱۵۱) در مورد روند شاخص‌های حدی دما و بارش تهران نشان می‌دهد که شاخص‌های حدۀای سرد، روند کاهشی محسوسی دارند. از طرف دیگر روند دمای حداقل و متوسط روزانه کاملاً افزایشی بوده و دارای شیب مثبت هستند و این در حالی است که روند افزایشی دمای حداکثر، شیب کم‌تری از خود نشان می‌دهد. علیجانی و قویدل‌رحمی (۱۳۸۴: ۲۱) اقدام به بررسی تغییرات دمای سالانه تبریز تحت تأثیر گرمایش جهانی کرده‌اند. نتایج نشانگر همبستگی مثبت و مستقیم معنی‌داری بین دمای سالانه تبریز و ناهنجاری‌های دمایی کره زمین بوده است. نتایج کار خوشحال دستجردی و قویدل‌رحمی (۱۳۸۷: ۲۶) حاکی از عدم تغییرات معنی‌دار در روند بلندمدت دماهای فرین اصفهان است، ولی با این وجود دماهای فرین اصفهان از سال ۱۹۹۰ به بعد دچار تحول شده است. نتایج آشکارسازی روند تغییرات دماهای فرین حداکثر اصفهان مثبت و دماهای کرانگین حداقل به‌ویژه برای سال‌های بعد از سال ۱۹۹۰ منفی بوده که این امر به معنی کاهش یافتن شدت سرمای زمستان و افزایش پیدا کردن شدت گرمای تابستان می‌باشد. نتایج به‌دست آمده از تحقیق عزیزی و روشنی (۱۳۸۷: ۱۳) نشان داده که در سواحل جنوبی دریای خزر دمای حداقل روند مثبت و دمای حداکثر روند منفی داشته است. بدین ترتیب از دامنه نوسان دما در طول دوره کاسته شده و درصد تغییر در فصل زمستان و تابستان نسبت به بهار و پاییز بیشتر بوده و زمان شروع تغییرات در ایستگاه‌های منطقه یکسان نمی‌باشد. رحیم‌زاده و همکاران (۱۳۸۸: ۱۱۹)، روند تغییرات نمایه‌های حدی اقلیمی دمای ایران را براساس ۱۷ ایستگاه همدیدی موجود در کشور طی بازه زمانی ۱۹۶۱-۱۹۹۰ مورد ارزیابی قرار داده‌اند. نتایج به‌دست آمده از کار آنان حاکی از روند منفی نمایه‌های حدی چون روزهای یخ‌بندان، روزهای یخی، روزهای سرد، شب‌های سرد و دامنه تغییرات شبانه‌روزی دما می‌باشد. همچنین نمایه‌هایی چون روزهای تابستانی، روزهای گرم و شب‌های گرم نیز در اغلب نقاط کشور روند افزایشی داشته است. از طرفی در مورد نمایه‌هایی چون طول مدت گرما و سرما هر سه حالت روند مثبت، منفی و بدون روند مشاهده می‌گردد. ورشاویان و همکاران (۱۳۹۰: ۱۶۹) در مطالعه تغییرات مقادیر دماهای حدی چند نمونه اقلیمی کشور به این نتیجه رسیده‌اند که روند دمای حداکثر روزانه، به جزء صدک یکم و تعداد روزهای بیش‌تر از صدک ۹۰ در سایر سری‌های زمانی افزایشی می‌باشند. نتایج حاصل از کار خوش‌اخلاق و همکاران (۱۳۹۰: ۱۹۹) نشان می‌دهد که با

7- Bani-Domi

8- Bartholy &amp; Pongracz

9- Chaouche

10-Yang

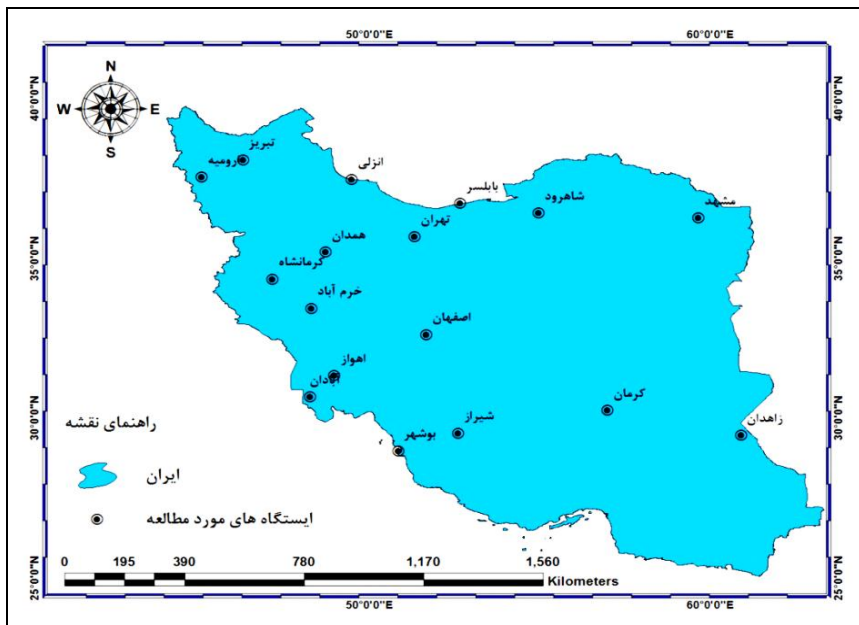
وجود روند افزایشی سری زمانی دما، داده‌های دمای حداقل دارای افت و خیزها و دوره‌های کوتاه‌مدت سرمایشی و گرمایشی است و به طور کلی می‌توان گفت که دمای حداقل در سطح کشور در طول دوره آماری مورد مطالعه روند افزایشی را طی کرده است. در مطالعه اسفندیاری و همکاران (۱۳۹۲: ۴۳) تاثیر گرمایش جهانی بر روی تغییرات دبی حوضه رودخانه ارس مورد ارزیابی قرار گرفته و نتایج حاکی از ارتباط معکوس و قوی گرمایش جهانی با آبده‌ی حوضه ارس دارد. در بین فصول سال به ترتیب زمستان، بهار، پاییز و تابستان تأثیرپذیری بیشتری از گرمایش جهانی داشته و روند دبی آن‌ها تحت تأثیر گرمایش جهانی کاهش پیدا کرده است.

هدف از انجام پژوهش مورد نظر آشکارسازی تأثیر گرمایش جهانی بر روی دماهای متوسط ایران می‌باشد. به دلیل اهمیت بسیار زیاد این پدیده نوظهور که در نتیجه فعالیت‌های بشری در قرن اخیر به شدت تسريع پیدا کرده و می‌تواند تأثیرات فراوانی بر روی همه جوانب کره زمین داشته باشد لزوم مطالعه آن بر روی عناصر اقلیمی مخصوصاً دما که بیشترین تأثیر را از آن می‌پذیرد امری بسیار مهم قلمداد می‌شود. بهویژه در کشورمان ایران که به دلیل داشتن آب و هوای خشک و نیمه‌خشک بسیار تأثیرپذیر از این امر می‌تواند باشد از اهمیت بسزایی برخوردار است. لذا به دلیل اهمیت حیاتی این موضوع برای ایران و به جهت نبود مطالعه جامعی در این رابطه پژوهش پیش رو در جهت آشکارسازی آماری تأثیر پدیده گرمایش جهانی بر روی دماهای متوسط ایران به انجام رسیده است.

## مواد و روش‌ها

جهت انجام پژوهش حاضر از دو دسته داده، داده‌های دمای متوسط و مقادیر متناظر آن داده‌های مربوط به ناهنجاری‌های دمایی کره زمین طی بازه زمانی ۱۹۵۱-۲۰۱۰ میلادی استفاده شده است. از بین ایستگاه‌های سینوپتیک کشور ۱۷ ایستگاه که دارای داده‌های بلندمدت (۶۰ ساله) بودند، جهت بررسی تأثیر پدیده گرمایش جهانی بر روی دماهای متوسط ایران انتخاب شدند. داده‌های مربوط به ایستگاه‌ها از سازمان هواشناسی کشور و داده‌های مربوط به شاخص ناهنجاری‌های دمایی متوسط سطح خشکی‌ها و اقیانوس‌های کره زمین موسوم به Global Mean Land/Ocean Temperature به عنوان شاخصی که در آن گرمایش جهانی منعکس است، از سایت مرکز تحقیقات فضایی گودارد در ناسا به نشانی <http://www.giss.nasa.gov/data> اخذ و مورد استفاده قرار گرفته است. (شکل ۲) پراکندگی مکانی ایستگاه‌های منتخب را در سطح کشور نشان می‌دهد. در پژوهش حاضر جهت آشکارسازی تأثیر گرمایش جهانی بر روی دماهای متوسط کشور طی بازه زمانی مورد مطالعه از روش‌های مختلفی همچون: آزمون همگنی جهت کنترل کیفی داده‌ها، مشخص کردن پارامترهای آماری داده‌ها مانند ضرایب پراکندگی و پارامترهای مربوط به گرایش به مرکز داده‌ها، آزمون همبستگی پیرسون جهت تبیین ارتباط بین دماهای متوسط ایستگاه‌ها با گرمایش جهانی، ضریب تعیین جهت بررسی میزان اثرگذاری گرمایش جهانی بر روی دماهای حداقل مطالعه شده، نمرات Z استاندارد جهت مقایسه بین دو مقدار، پهنگ‌بندی به وسیله زمین آمار جهت نشان دادن توزیع مکانی ضرایب همبستگی در سطح کشور و آزمون من کنadal جهت بررسی معنی دار بودن روند تغییرات سری زمانی داده‌ها استفاده گردید. مجموعه روش‌های

ذکر شده در جهت تحلیل و آشکارسازی تأثیرپذیری دماهای متوسط کشور از گرمایش جهانی و تغییرات روند صورت گرفته کمک شایانی می‌کند؛ که در ذیل به توضیح مختصر برخی از مهم‌ترین روش‌های ذکر شده پرداخته می‌شود.



شکل ۲: پراکندگی مکانی ایستگاه‌های مورد مطالعه در سطح کشور

#### - نمرات Z استاندار

برای مقایسه تغییرات دماهای ایستگاه‌های منتخب با ناهنجاری‌های دمایی کره زمین و مدل‌سازی روند تغییرات آنها، همچنین شناسایی تأثیر ناهنجاری‌های دمایی کره زمین بر دماهای ایستگاه‌ها، هر دو گروه داده‌ها با استفاده از معادله نمرات Z استاندارد، بین ۱ - تا +۱ استانداردسازی شده و مورد استفاده قرار گرفته‌اند؛ تا امکان مقایسه دو گروه داده مذکور که در رده‌های عددی متفاوتی نسبت به همدیگر قرار داشتند فراهم شود. معادله نمرات Z استاندارد به شرح زیر می‌باشد:

$$F_{sd} = (f_i - \bar{F}) / \sigma \quad (1)$$

که در معادله فوق،  $F_{sd}$ : مقدار عنصر استانداردشده دما؛  $f_i$ : مقدار دما در سال مفروض؛  $\bar{F}$ : میانگین بلندمدت دما و  $\sigma$ : انحراف معیار دما در بازه زمانی مورد مطالعه می‌باشد (خوشحال دستجردی و قویدل رحیمی، ۱۳۸۶: ۳۴).

#### - پهنه‌بندی

در این مطالعه از مدل زمین آمار و توابع شعاعی آن جهت پهنه‌بندی مکانی مقادیر ضرایب همبستگی در سطح کشور بهره گرفته شد. این روش به عنوان یکی از مدل‌های زمین آمار محسوب می‌شود که به دلیل داشتن مقدار خطای

کمتر و دقت بالا در این پژوهش از بین مدل‌های موجود انتخاب گردیده و مورد استفاده قرار گرفت. توابع پایه‌ی شعاعی توانایی ایجاد سطوحی را که هم شامل روندهای عام است و هم تغییرات محلی در آنها لحاظ شده را می‌دهند. این روش در نمونه‌هایی کمک‌کننده خواهد بود که رویه برآش شده بر حسب مقادیر نمونه‌برداری شده، به دقت سطح را نمایش نمی‌دهد (ترابی آزاد و همکاران، ۱۳۸۹: ۱۹). این روش می‌تواند رویدادهای نویزداری که به‌طور نامنظم در یک منطقه پخش شده‌اند، اعمال شده و یک درون‌پایی چند متغیره هموار رویدادهای انجام دهد؛ به عبارت دیگر روش RBF تابعی را می‌یابد که مشابه یک ورقه فلزی نازک است که به‌طور همواری خم شده است و مقید به گذشتگی از تمامی داده‌ها می‌باشد. در این روش یک تابع  $f(x, y)$  را می‌یابد که این تابع نه تنها از تمامی داده‌های موجود می‌گذرد، بلکه مقدار یک تابع اتحنا را که میزان هموار بودن تابع  $f(x, y)$  را می‌سنجد را نیز کمینه می‌کند. در روش RBF تابعی که میزان تابع اتحنا برای آن مینیمم می‌شود به شکل عمومی زیر می‌باشد و تفاوت روش‌های RBF مختلف در نحوه تعریف تابع RBF (E) در رابطه زیر می‌باشد:

$$f(x, y) = \sum_{j=1}^n a_j E(\|x - x_j, y - y_j\|) + b_0 + b_1 x + b_2 y \quad (2)$$

به طوری که  $\| \cdot \|$  بیانگر طول بردار،  $x$  و  $y$  متغیرهای مکانی،  $(x_j, y_j)$  مختصات مکانی زمین نقطه مشاهده‌ای پارامتر  $Z_j$  و  $E$  را می‌باشد.  $a_j, b_0, b_1, b_2$  ضرایبی هستند که باید تعیین شوند تا تابع  $f$  به طور صریح مشخص شود. البته ابتدا بایستی  $RBF(E)$  نیز مشخص گردد.

در این پژوهش از سه روش Thin plate spline، Completely Regularized spline و Multiquadratic توابع شعاعی جهت پهنگ‌بندی ضرایب همبستگی استفاده شده است. روابط زیر نحوه محاسبه این روش‌ها را نشان می‌دهند:

$$\text{Thin plate Spline} = \left[ (x - x_j)^2 + (y - y_j)^2 + \lambda \right] \log \left[ (x - x_j)^2 + (y - y_j)^2 + \lambda \right] \quad (3)$$

$$\text{Multiquadratic} = \sqrt{\left[ (x - x_j)^2 + (y - y_j)^2 \right] + \lambda} \quad (4)$$

رابطه زیر نیز نحوه محاسبه روش Completely Regularized spline را نشان می‌دهد:

$$T(x, y) = a_1 + a_2 x + a_3 y \quad (\text{معادله } 5)$$

$a_1$  ضریبی است که از طریق حل کردن معادله خطی سیستم به دست می‌آید همچنین:

$$R(r) = \frac{1}{2\pi} \left\{ \frac{r^2}{4} [\ln(\frac{r}{2\tau}) + c - 1] + \tau^2 [k \cdot (\frac{r}{\tau}) + c + \ln(\frac{r}{2\pi})] \right\} \quad (6)$$

که در آن  $r$  فاصله بین نقطه و نمونه،  $\tau$  پارامتر وزن،  $k$  ضریب اصلاح شده معادله بسل و  $c$  ضریب ثابتی است که برابر با  $۰/۵۷۷۲۱۵$  می‌باشد (تفیان و همکاران، ۱۳۸۹: ۸۹).

#### - آزمون ناپارامتری من-کندال

آزمون من-کندال یک آزمون آماری-گرافیکی است که جهت بررسی تصادفی بودن و تعیین روند در سری‌ها استفاده می‌شود. به علت عمومیت استفاده از روش مذکور در مطالعات اقلیمی، از ذکر جزئیات روش صرف نظر می‌گردد.

#### یافته‌ها و بحث

##### - تحلیل‌های ماهانه

##### - ژانویه

در ماه ژانویه دمای متوسط، از بین ایستگاه‌های مطالعه‌ی تبریز با  $۱۸۶/۲۵$  درصد و بوشهر با  $۹/۸۳$  درصد بهتری بدارای بیشترین و کمترین ضریب تغییرات هستند. حداقل دمای مطلق ثبت شده برابر با  $۱۵/۶$  درجه در ایستگاه همدان و بیشینه دمای مطلق ثبت شده متعلق به بوشهر با  $۱۷/۵$  درجه سانتی‌گراد می‌باشد. در این ماه از بین  $۱۷$  تا ایستگاه مورد مطالعه فقط  $۳$  ایستگاه (بابلسر، مشهد، تهران)، دارای ارتباط معنادار با گرمایش جهانی بوده و بقیه ایستگاه‌ها هیچ‌گونه رابطه معناداری با آن نشان نمی‌دهند. ایستگاه بابلسر با میزان ضریب همبستگی برابر با  $۰/۳۴۳$  درصد و سطح معناداری  $۹۹/۰$  با ضریب تعیین  $۱۲/۰$  درصد دارای بیشترین میزان ارتباط معنادار و ایستگاه تهران با ضریب همبستگی  $۰/۳۰۷$  درصد در سطح  $۹۵/۰$  معناداری و ضریب تعیین  $۰/۰۹$  درصد دارای کمترین ارتباط معنادار در بین  $۳$  ایستگاه همبسته با گرمایش جهانی است. در (جدول ۱) ضرایب همبستگی دمای متوسط ماه‌های ژانویه تا ژوئن با گرمایش جهانی نشان داده شده است.

جدول ۱- ضرایب همبستگی دمای متوسط ایستگاه‌های مورد مطالعه با گرمایش جهانی از ژانویه تا ژوئن

ایستگاه	ژانویه	فوریه	مارس	آوریل	مای	ژوئن
آبادان	$۰/۰۲۷$	$۰/۳۲۷^*$	$۰/۳۳۷^{**}$	$۰/۵۶۲^{**}$	$۰/۵۵۴^{**}$	$۰/۶۸۸^{**}$
اهواز	$۰/۲۱۲$	$۰/۴۳۹^{**}$	$۰/۴۰۳^{**}$	$۰/۵۴۸^{**}$	$۰/۷۲۲^{**}$	$۰/۷۴۴^{**}$
انزلی	$۰/۲۰۱$	$۰/۳۵^{**}$	$۰/۴۴۸^{**}$	$۰/۱۵۳$	$-۰/۰۸۸$	$۰/۲۵۹^*$
بابلسر	$۰/۳۴۳^{**}$	$۰/۴۹۲^{**}$	$۰/۵۳۹^{**}$	$۰/۴۷۶^{**}$	$۰/۳۴۳^{**}$	$۰/۵۸۰^{**}$
بوشهر	$۰/۱۵۲$	$۰/۴۴۸^{**}$	$۰/۲۵۶^*$	$۰/۵۲۷^{**}$	$۰/۵۷۳^{**}$	$۰/۵۶۹^{**}$
اصفهان	$۰/۱۱۸$	$۰/۳۵۸^{**}$	$۰/۳۰۶^*$	$۰/۴۵۵^{**}$	$۰/۳۹۹^{**}$	$۰/۳۶۱^{**}$
همدان	$-۰/۱۰۳$	$۰/۱۳۱$	$۰/۱۵۳$	$۰/۲۲۳$	$۰/۰۶۳$	$۰/۳۶۳^{**}$
کرمان	$۰/۱۴$	$۰/۳۲۶^*$	$۰/۱۷۸$	$۰/۳۵۲^{**}$	$۰/۳۱۱^{**}$	$۰/۰۲۲$
کرمانشاه	$۰/۱۷۹$	$۰/۳۶۱^{**}$	$۰/۴۱۴^{**}$	$۰/۵۲۶^{**}$	$۰/۵۵۱^{**}$	$۰/۷۷۷^{**}$
مشهد	$۰/۳۲۵^*$	$۰/۴۴۰^{**}$	$۰/۴۶۰^{**}$	$۰/۵۳۹^{**}$	$۰/۳۸۹^{**}$	$۰/۷۱۱^{**}$
ارومیه	$۰/۱۰۵$	$۰/۲۰۰^{**}$	$۰/۱۴۵$	$۰/۰۶۷$	$-۰/۱۸۹$	$۰/۰۳۹$
شاہرود	$۰/۲۴۱$	$۰/۳۹۳^{**}$	$۰/۳۶۴^{**}$	$۰/۴۰۴^{**}$	$۰/۲۷۲^*$	$۰/۵۴۸^{**}$

ادامه جدول ۱- ضرایب همبستگی دمای متوسط ایستگاه‌های مورد مطالعه با گرمایش جهانی از ژانویه تا ژوئن

شیراز	۰/۱۷۳	۴۷۴**	۰/۴۰۴**	۰/۵۴۸**	۰/۵۷۲**	۰/۶۶۳**
تبریز	۰/۱۹۴	۰/۴۰۹**	۰/۴۱۳**	۰/۴۱۹**	۰/۳۳۶**	۰/۵۷۱**
تهران	۰/۳۰۷*	۰/۴۸۱**	۰/۴۸۸**	۰/۴۹۹**	۰/۳۵۸**	۰/۵۷۳**
Zahedan	۰/۱۷۳	۰/۳۲۳*	۰/۱۷۸	۰/۴۵۶**	۰/۴۰۴**	۰/۳۰۳*
خرم‌آباد	۰/۲۱۷	۰/۰۲۱	۰/۰۵۶	۰/۱۴۷	۰/۱۸۵	-۰/۰۸۱

## - فوریه

در این ماه تبریز با ۵۹۹/۷۳ درصد و بوشهر با ۸/۷۱ درصد بهترین دارای بیشترین و کمترین ضریب تغییرات می‌باشد. کمترین دمای ثبت شده متعلق به ایستگاه همدان با ۱۳/۲- درجه و بیشترین دمای رخداده در بوشهر برابر با ۱۹/۱ درجه سانتی‌گراد است. تحلیل همبستگی ارتباط پدیده گرمایش جهانی با دمای متوسط ایستگاه‌ها در ماه فوریه نشان از همبستگی بالای ایستگاه‌ها و تأثیرپذیری آن‌ها از ناهنجاری‌های دمایی کره زمین دارد. به طوری که به غیر از سه ایستگاه همدان و خرم‌آباد که هیچ‌گونه رابطه معناداری را با ناهنجاری‌های دمایی کره زمین نشان نمی‌دهند بقیه ایستگاه‌ها دارای رابطه همبستگی مثبت با گرمایش جهانی هستند. در بین ایستگاه‌های مورد مطالعه بابلسر با ۰/۴۹۲ درصد با سطح معناداری ۰/۹۹ و ضریب تعیین ۰/۲۴ درصد بیشترین تأثیرپذیری را از پدیده گرمایش جهانی داشته و در مقابل ارومیه با ضریب همبستگی ۰/۳۰ درصد با سطح معناداری ۰/۹۵ درصد و ضریب تعیین ۰/۰۹ درصد دارای کمترین تأثیرپذیری بوده است.

## - مارس

در این ماه از بین ایستگاه‌های مورد مطالعه، همدان با ۴۴/۴ درصد دارای بیشترین تغییرپذیری و همانند ماه‌های قبل بوشهر با ۶/۷۱ درصد دارای کمترین تغییرپذیری است. بیشترین دمای به ثبت رسیده در ایستگاه جنوب‌غربی اهواز با ۲۳/۸ درجه سانتی‌گراد مشاهده می‌گردد و پایین‌ترین دما نیز در همدان با ۱/۹- درجه سانتی‌گراد دیده می‌شود. در این ماه ایستگاه‌هایی همچون خرم‌آباد، ارومیه، کرمان، همدان و زاهدان هیچ‌گونه رابطه‌ی معناداری را با ناهنجاری‌های دمایی کره زمین نشان نمی‌دهند. در ماه مارس همانند ماه فوریه ایستگاه بابلسر با ضریب همبستگی ۰/۵۳۶ درصد در سطح معناداری ۰/۹۹ و ضریب تعیین ۰/۲۹ درصد بیشترین میزان ارتباط و ایستگاه بوشهر با ضریب همبستگی ۰/۲۵۶ درصد در سطح معناداری ۰/۹۵ و ضریب تعیین ۰/۰۶ درصد دارای کمترین مقدار ارتباط با تغییرات دمایی کره زمین هستند.

## - آوریل

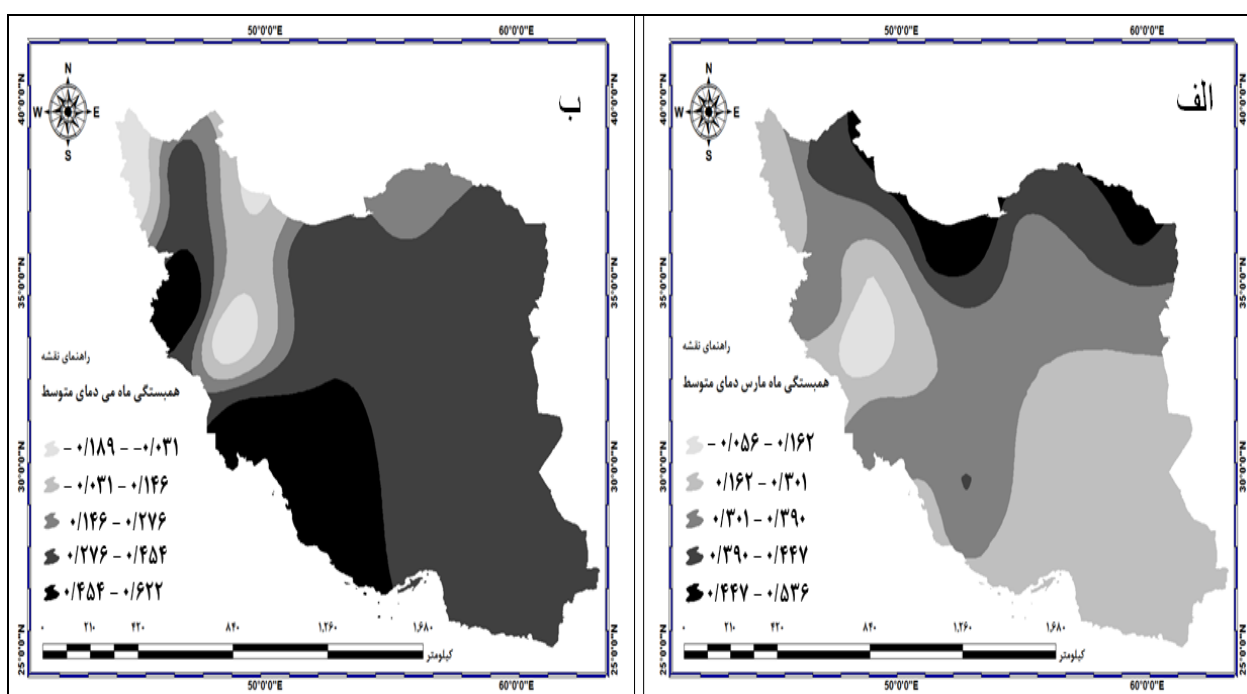
در ماه آوریل ایستگاه ارومیه با ۱۳/۴۴ درصد دارای بیشترین تغییرپذیری دمای متوسط و ایستگاه بوشهر همانند ماه‌های قبل با ۴/۸۴ درصد دارای کمترین تغییرپذیری است. پایین‌ترین دمای متوسط ثبت شده در آوریل متعلق به ایستگاه تبریز با ۷/۹ درجه و بالاترین دمای رخداده در آبادان با ۲۹/۱ درجه سانتی‌گراد است.

ماه آوریل نسبت به ماه مارس نشان از افزایش تأثیر گرمایش جهانی بر روی دمای ایران دارد. به نحوی که به غیر از ایستگاه‌های انزلی، همدان، ارومیه و خرم‌آباد بقیه ایستگاه‌ها رابطه معناداری با تغییرات دمایی کره زمین نشان می‌دهند. بیشترین میزان تأثیر ناهمجارتی‌های دمایی کره زمین بر روی ایستگاه آبادان با ضریب همبستگی ۰/۵۶۲ درصد و سطح اطمینان ۹۹/۰ درصد با ضریب تعیین ۳۱/۰ درصد بوده و کمترین تأثیرپذیری را ایستگاه کرمان با میزان همبستگی ۵۲/۰ درصد در سطح اطمینان ۹۹/۰ درصد و با ضریب تعیین ۱۲/۰ درصد داشته‌اند.

#### - م-

مقادیر آماره‌های دمای متوسط ماه می نشانگر بالا بودن ضریب تغییرات ارومیه نسبت به سایر ایستگاه‌های است. ارومیه با ۱۶/۹ درصد دارای بیشترین ضریب تغییرات دمای متوسط ماه می و بوشهر با ۳/۴ درصد دارای کمترین درصد ضریب تغییرات می‌باشد. کمترین دمای ثبت شده در ایستگاه‌های ارومیه و همدان با ۱۲ درجه سانتی‌گراد و بالاترین دمای ثبت شده در ایستگاه هواز برابر با ۷/۳۳ درجه سانتی‌گراد است.

شکل (۳) پراکندگی مکانی ضرایب همبستگی ماه‌های مارس و می دمای متوسط ایستگاه‌های مورد بررسی با گرمایش جهانی را نشان می‌دهد. در ماه مارس بیشترین تأثیر گرمایش جهانی بر روی شمال‌شرق، شمال و تا حدودی شمال‌غرب کشور می‌باشد و کمترین آن در بخش غرب کشور مشاهده می‌گردد. در ماه می جنوب‌غرب و بخشی از غرب کشور همبستگی بالای ۴۵ درصد با گرمایش جهانی داشته و بخش اعظمی از ایران دارای همبستگی ۴۵ تا ۲۷ درصدی است.



شکل ۳: پراکندگی مکانی ضرایب همبستگی بین گرمایش جهانی با دمای متوسط الف: ماه مارس ب: ماه می

در این ماه به غیر از ایستگاه‌های انزلی، همدان، ارومیه و خرم‌آباد در بقیه ایستگاه‌ها رابطه معنادار مثبتی بین ناهنجاری‌های دمایی کره زمین و دمای متوسط ایستگاه‌ها دیده می‌شود. در ماه می که برابر با اردیبهشت ماه می‌باشد ایستگاه‌های موجود در جنوب کشور مخصوصاً جنوب‌غرب کشور دارای بیشترین میزان رابطه معنادار و تأثیرپذیری از ناهنجاری‌های دمایی کره زمین هستند. از همبستگی ایستگاه‌های ساحلی کرانه‌های شمالی کشور در این ماه به طور قابل توجهی کاسته شده به گونه‌ای که ایستگاه انزلی هیچ‌گونه رابطه معناداری را نشان نمی‌دهد. در بین ایستگاه‌های مورد مطالعه در ماه می ایستگاه اهواز با ضریب همبستگی  $0/622$  در سطح اطمینان  $99\%$  درصد معناداری و ضریب تعیین  $0/386$  درصد دارای بیشترین میزان تأثیرپذیری و ایستگاه شاهروд با مقدار همبستگی  $0/272$  درصد و سطح معناداری  $95\%$  درصد با ضریب تعیین  $0/07$  درصد دارای کمترین مقدار تأثیرپذیری از ناهنجاری‌های دمایی کره زمین می‌باشند.

#### - ژوئن

در این ماه ایستگاه تبریز با  $7/14$  درصد دارای بیشترین میزان ضریب تغییرات و آبادان با  $3/7$  درصد کم ترین تغییرپذیری دمای متوسط را بر خود اختصاص می‌دهند. پایین‌ترین دمای مشاهده شده برابر با  $17/6$  در ارومیه و بالاترین آن در ایستگاه‌های آبادان و اهواز با  $37/9$  درجه سانتی‌گراد به ثبت رسیده است. در ماه ژوئن ایستگاه‌های اهواز و کرمانشاه ضرایب همبستگی مثبت بالای  $0/70$  درصد با گرمایش جهانی را نشان می‌دهند که حاکی از تأثیر بیشتر گرمایش جهانی بر روی دمای متوسط این ایستگاه‌ها است. در این ماه به غیر از ایستگاه‌های کرمان، ارومیه و خرم‌آباد که هیچ‌گونه رابطه معناداری را نداشتند؛ بقیه ایستگاه‌ها دارای ارتباط معناداری با تغییرات دمایی کره زمین هستند. ایستگاه اهواز با ضریب همبستگی  $0/744$  درصد و در نقطه مقابل آن ایستگاه انزلی با  $0/259$  درصد هر کدام به ترتیب با ضرایب تعیین برابر با  $0/055$  درصد و  $0/07$  درصد شاهد بیشترین و کمترین تأثیرپذیری از ناهنجاری‌های دمایی کره زمین در ماه خرداد هستند.

#### - ژوئیه

در ماه تیر میزان تغییرپذیری دمای متوسط در بین ایستگاه‌ها کمتر شده و کمترین درصد آن در ایستگاه آبادان با  $2/79$  درصد و بالاترین آن در ایستگاه تبریز با  $5/35$  درصد به چشم می‌خورد. کمترین دمای ثبت شده برابر با  $21/8$  درجه سانتی‌گراد در ایستگاه ارومیه و بیشترین آن با  $39/8$  درجه در ایستگاه اهواز به چشم می‌خورد. در این ماه به غیر از ایستگاه‌های همدان، اصفهان و زاهدان که افزایش تأثیرپذیری از گرمایش جهانی را تجربه می‌کنند در بقیه ایستگاه‌ها، شاهد کاهش اثرات ناهنجاری‌های دمایی کره زمین بر روی دمای متوسط ایستگاه‌های مورد مطالعه هستیم. در این بین تغییرات دمای متوسط ایستگاه‌های انزلی، ارومیه و خرم‌آباد هیچ‌گونه رابطه معناداری با تغییرات ناهنجاری‌های دمایی کره زمین نشان نمی‌دهند. در ماه تیر اهواز با ضریب همبستگی  $0/733$  درصد و ایستگاه کرمان با  $0/288$  درصد با ضرایب تعیین برابر با  $0/0537$  و  $0/08$  درصد به ترتیب بیشترین و کمترین

تأثیرپذیری از گرمایش جهانی را تجربه می‌کنند. (جدول ۲) ضرایب همبستگی ماههای ژوئیه تا دسامبر دمای متوسط با گرمایش جهانی را نشان می‌دهد.

جدول ۲- ضرایب همبستگی دمای متوسط ایستگاه‌های مورد مطالعه با گرمایش جهانی از ژوئیه تا دسامبر

ایستگاه	ژوئیه	آگوست	سپتامبر	اکتبر	نوامبر	دسامبر
آبادان	۰/۶۸۴**	۰/۶۵۸**	۰/۳۷۷**	۰/۵۷۳**	۰/۱۵۴	۰/۱۹۹
اهواز	۰/۷۳۳**	۰/۷۲۷**	۰/۵۶۲**	۰/۶۵۷**	۰/۴۱۱**	۰/۳۳۱**
انزلی	۰/۲۵۸	۰/۳۷۶**	۰/۲۸۷*	۰/۴۴۱**	۰/۲۸۲*	۰/۲۳۹
بابلسر	۰/۴۸۱**	۰/۵۶۹**	۰/۴۶۹**	۰/۵۷۰**	۰/۴۲۷**	۰/۴۰۷**
بوشهر	۰/۴۲۴**	۰/۴۷۶**	۰/۵۰۲**	۰/۴۹۷**	۰/۴۶۲**	۰/۲۹۴*
اصفهان	۰/۳۸۶**	۰/۴۵۷*	۰/۳۷**	۰/۵۲۹**	۰/۱۱۹	۰/۲۴۳
همدان	۰/۴۰۱**	۰/۴۲۸*	۰/۲۲۱	۰/۳۰۵*	-۰/۰۳	۰/۰۶
کرمان	۰/۲۸۸*	۰/۲۰۶	۰/۲۵۹*	۰/۳۳۷**	۰/۲۳۳	۰/۳۳۵**
کرمانشاه	۰/۶۳۵**	۰/۵۷۷**	۰/۶۰۷**	۰/۷۴۷**	۰/۳۸۴**	۰/۳۷۴**
مشهد	۰/۶۴۷**	۰/۶۰۵**	۰/۶۲۶**	۰/۶۳۵**	۰/۴۲۷**	۰/۴۲۶**
ارومیه	-۰/۱۶۳	-۰/۲۳	-۰/۰۲۶	-۰/۰۰۴	-۰/۰۶۴	۰/۰۵۳
شاہرود	۰/۴۱۸**	۰/۴۸۴**	۰/۵۳۳**	۰/۶۰۴**	۰/۳۳۱**	۰/۲۵۷*
شیراز	۰/۶۵۴**	۰/۵۴۸**	۰/۵۳۷**	۰/۶۷۵**	۰/۳۴۰**	۰/۲۷۹*
تبریز	۰/۴۲۴**	۰/۴۲۰**	۰/۴۰۵**	۰/۵۱۲**	۰/۲۶۲*	۰/۲۶۱*
تهران	۰/۴۷۲**	۰/۵۱۷**	۰/۵۰۲**	۰/۶۲۲**	۰/۳۷۷**	۰/۴۱۴**
Zahedan	۰/۳۱۲*	۰/۳۱۸*	۰/۳۶۴**	۰/۲۸۳*	۰/۲۷۵*	۰/۲۳۸
خرم‌آباد	-۰/۱۶۹	-۰/۲۱۴	-۰/۳۲۵	-۰/۰۴۱	**-۰/۳۷	-۰/۱۹۷

### - آگوست

در ماه آگوست همانند ماههای قبل درصد تغییرپذیری دمای متوسط کم بوده که به دلیل استیلای پرفشار آزور بر روی قسمت بزرگی از ایران می‌باشد. در این ماه ایستگاه کرمان با ۶/۲۱ درصد و بوشهر با ۳/۱۱ درصد به ترتیب دارای بیشترین و کمترین ضریب تغییرات در بین ایستگاه‌ها هستند. همچنین بالاترین دمای ثبت شده برابر با ۳۹/۳ در ایستگاه اهواز و پایین‌ترین آن در مشهد با ۲۰/۷ درجه سانتی‌گراد است.

در ماه آگوست ایستگاه‌هایی هم‌چون انزلی، بابلسر، بوشهر، تهران، زاهدان و شاهروд شاهد افزایش تأثیرپذیری و ایستگاه‌های اهواز، آبادان، اصفهان، همدان، کرمانشاه، کرمان، مشهد، شیراز و تبریز کاهش تأثیرپذیری از تغییرات دمایی کره زمین را تجربه کردند. در این ماه ایستگاه‌های کرمان، ارومیه و خرم‌آباد هیچ‌گونه رابطه معناداری با ناهنجاری‌های دمایی کره زمین نداشته‌اند. ایستگاه اهواز با میزان همبستگی ۰/۷۲۷ درصد و ضریب تعیین ۰/۵۲۸

در صد دارای بیشترین میزان همبستگی و ایستگاه اصفهان با مقدار همبستگی  $0/257$  درصد و ضریب تعیین  $0/66$  در صد دارای کمترین میزان همبستگی می‌باشد.

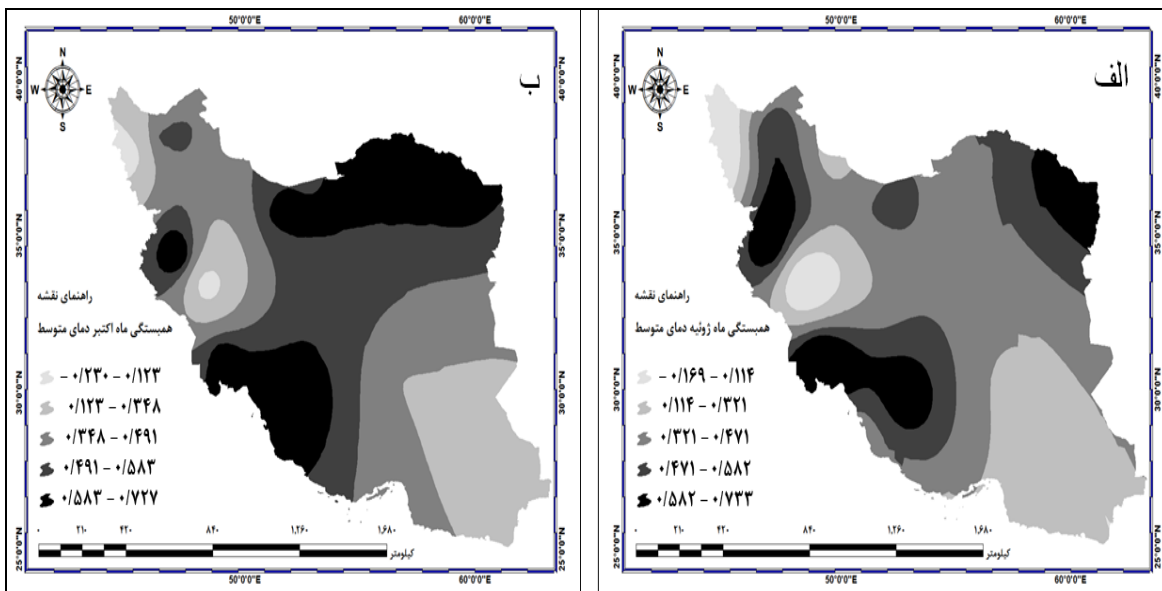
#### - سپتامبر

در ماه شهریور ضریب تغییرات دمای متوسط نسبت به ماههای قبل اندکی افزایش را نشان می‌دهد که حاکی از شروع خروج تدریجی پرفشار آзор و وارد شدن تدریجی بادهای غربی به منطقه می‌باشد. بالاترین ضریب تغییرات با  $0/14$  در صد در کرمان و پایین‌ترین آن با  $0/93$  در صد در آبادان مشاهده می‌گردد. پایین‌ترین دمای ثبت شده با  $16/4$  درجه سانتی‌گراد متعلق به ایستگاه ارومیه و بالاترین دمای ثبت شده نیز با  $35/5$  درجه سانتی‌گراد در ایستگاه آبادان می‌باشد.

در ماه سپتامبر شاهد افت قابل توجه ارتباط دماهای متوسط ایستگاه‌های آبادان و اهواز با ناهنجاری‌های دمایی کره زمین نسبت به ماه قبل هستیم. در این ماه ایستگاه‌های ارومیه و خرم‌آباد با مقدار ضرایب همبستگی  $0/256$  و  $0/325$  در صد تأثیرپذیری معکوس از گرمایش جهانی داشته‌اند و گرمایش جهانی باعث افت دمای این ایستگاه‌ها شده است. در ماه شهریور به غیر از ایستگاه همدان در بقیه ایستگاه‌های مورد مطالعه رابطه همبستگی مثبت معناداری دیده می‌شود. ایستگاه کرمانشاه با میزان همبستگی  $0/657$  در صد و ضریب تعیین  $0/43$  در صد در سطح معناداری  $0/99$  در صد دارای بیشترین میزان همبستگی و ایستگاه کرمان با میزان همبستگی  $0/259$  در صد با ضریب تعیین  $0/7$  در صد دارای کمترین میزان ارتباط با تغییرات دمایی کره زمین‌اند.

#### - اکتبر

با وارد شدن به فصل پاییز تغییرپذیری دمای متوسط نیز بیشتر می‌شود. در مهر ماه از بین ایستگاه‌های مورد مطالعه مشهد با  $13/73$  در صد دارای بیشترین تغییرپذیری دمایی بوده که به دلیل وارد شدن توده هوای سیبری به این منطقه می‌باشد و کمترین تغییرپذیری دمای متوسط اکتبر نیز متعلق به بوشهر با  $4/59$  در صد است. کمترین دمای به ثبت رسیده در ایستگاه شمال‌غربی ارومیه با  $9/5$  درجه و بالاترین دما نیز با  $30/2$  درجه سانتی‌گراد در آبادان مشاهده می‌گردد. در این ماه ایستگاه‌های ارومیه و خرم‌آباد فاقد هرگونه رابطه معنادار با گرمایش جهانی می‌باشند. در حالی که در بقیه ایستگاه‌ها به جزء ایستگاه زاهدان افراش در خور توجهی در میزان رابطه و همبستگی بین دماهای متوسط ایستگاه‌ها و ناهنجاری‌های دمایی کره زمین نسبت به شهریور ماه رخ داده است. ایستگاه کرمانشاه با ضریب همبستگی  $0/747$  در صد با ضریب تعیین  $0/558$  در صد و در نقطه مقابل آن ایستگاه زاهدان با میزان ضریب همبستگی  $0/283$  در صد و ضریب تعیین  $0/08$  در صد به ترتیب دارای بیشترین و کمترین همبستگی و رابطه معنادار با ناهنجاری‌های دمایی کره زمین هستند. (شکل ۴) پراکندگی مکانی ضرایب همبستگی ماههای ژوئیه و اکتبر دمای متوسط با گرمایش جهانی ایستگاه‌های مورد مطالعه در سطح کشور را نشان می‌دهد. طبق اشکال ذکر شده همبستگی بالای  $58$  در صد در هر دو ماه در نواحی شمال‌شرقی، جنوب‌غرب و بخش‌هایی از شمال‌غرب کشور مشاهده می‌گردد. البته در ماه اکتبر نواحی شمالی نیز دارای ضریب همبستگی بالایی با گرمایش جهانی هستند.



شکل ۴: پراکندگی مکانی ضرایب همبستگی بین گرمایش جهانی با دمای متوسط الف: ماه ژوئیه ب: ماه اکتبر

#### - نوامبر

در ماه نوامبر ضریب تغییرات دمای متوسط ارومیه بیشتر از سایر ایستگاه‌ها می‌باشد. ارومیه با ۲۵/۲۵ درصد دارای بیشترین تغییرپذیری و بوشهر با ۴/۷۲ درصد دارای کمترین درصد ضریب تغییرات در بین ایستگاه‌ها هستند. حداقل دمای ثبت شده در ارومیه برابر با  $6/0$  درجه و بالاترین دمای ثبت شده در بوشهر با  $23/6$  درجه سانتی‌گراد است.

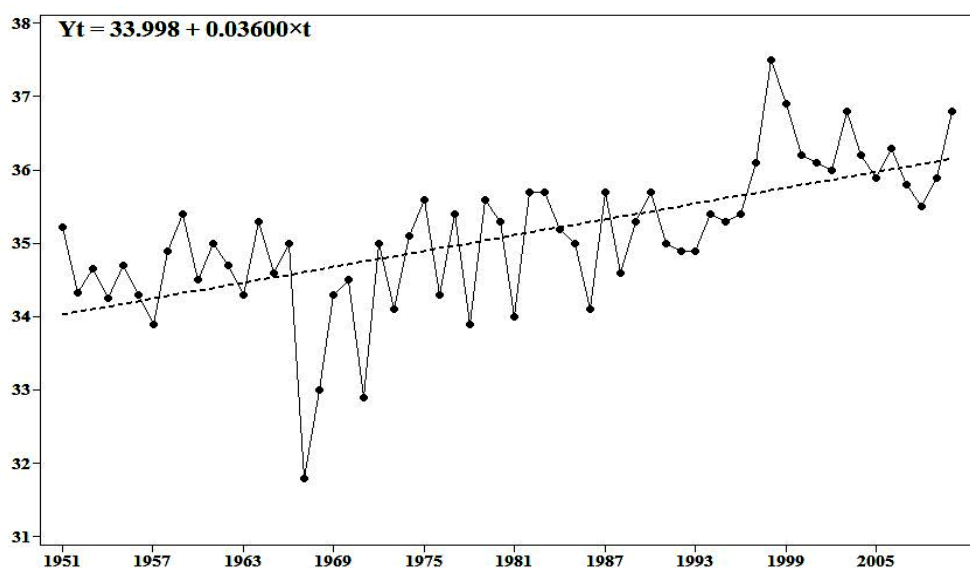
با نزدیک شدن به ماه‌های آخر فصل پاییز کاهش در میزان ارتباط دماهای متوسط ایستگاه‌ها با ناهنجاری‌های دمایی کره زمین دیده می‌شود. در این ماه ایستگاه‌های آبادان، اصفهان، همدان، کرمان و ارومیه فاقد هرگونه همبستگی با گرمایش جهانی بوده و ایستگاه خرمآباد نشان از رابطه همبستگی معکوس با میزان ضریب همبستگی  $0/369$  درصد در سطح اطمینان  $99/0$  درصد دارد. در این ماه بوشهر با  $63/0$  درصد و تبریز با مقدار همبستگی  $262/0$  درصد هر کدام به ترتیب با ضرایب تعیین برابر با  $21/0$  و  $07/0$  درصد دارای بیشترین و کمترین ارتباط معنادار با ناهنجاری‌های دمایی کره زمین هستند.

#### - دسامبر

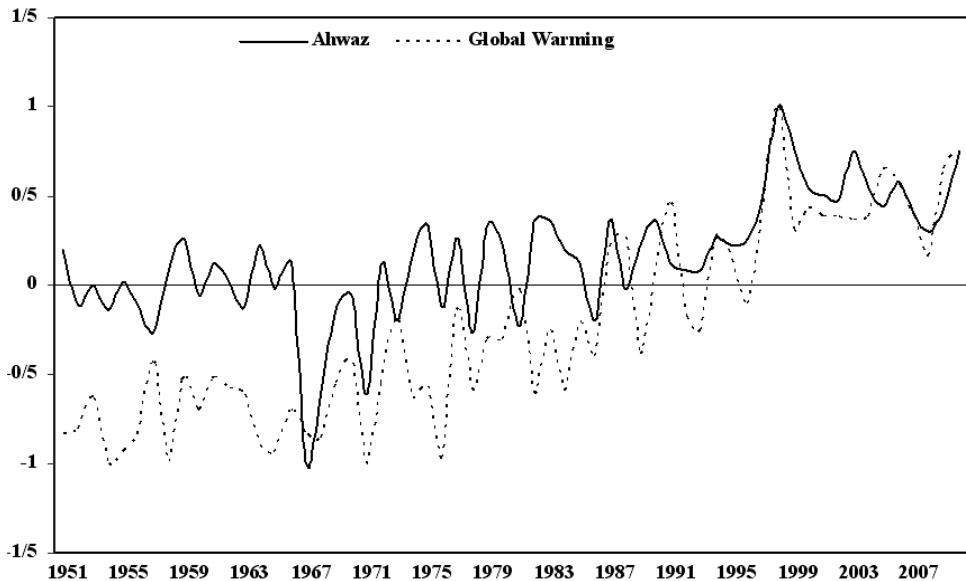
در ماه دسامبر که برابر با آذر ماه می‌باشد؛ همدان با  $273/12$  درصد بالاترین ضریب تغییرات را در بین ایستگاه‌ها دارد. کمترین ضریب تغییرات با  $97/8$  درصد متعلق به ایستگاه بوشهر است. حداقل دمای ثبت شده برابر با  $7/8/-$  درجه در همدان و بالاترین دمای مشاهده شده در بوشهر با  $7/19$  درجه سلسیوس است.

نتایج حاصل از تحلیل همبستگی ماه دسامبر نشان از کاهش پیدا کردن همبستگی‌ها و رابطه معنادار دمای متوسط ایستگاه‌ها با گرمایش جهانی دارد. در این ماه ایستگاه‌های آبادان، انزلی، اصفهان، همدان، ارومیه، زاهدان و خرمآباد

هیچ‌گونه رابطه معناداری با گرمایش جهانی نداشته و بقیه ایستگاه‌ها دارای ارتباط نه چندان زیاد با این پدیده هستند. به شکلی که بیشترین میزان درصد همبستگی بین ایستگاه‌ها متعلق به ایستگاه مشهد با  $0.426$  درصد ضریب همبستگی و ضریب تعیین  $0.18$  درصد می‌باشد و کمترین مقدار آن متعلق به ایستگاه شاهروд با  $0.257$  درصد و ضریب تعیین  $0.07$  درصد است. بررسی روند تغییرات سری زمانی دمای متوسط ایستگاه‌های مورد مطالعه تحت تاثیر گرمایش جهانی بیانگر افزایشی بودن روند سری زمانی دمای آن‌ها در بیشتر ماههای سال دارد. دمای متوسط همه ایستگاه‌ها در اغلب ماهها رابطه معنادار با گرمایش جهانی نشان می‌دهد. این رابطه در همه ایستگاه‌ها به غیر از ایستگاه ارومیه در ماه سپتامبر و ایستگاه خرمآباد در ماههای سپتامبر و نوامبر به صورت کاهشی بوده و در بقیه ایستگاه‌ها در اکثر ماهها به صورت افزایشی می‌باشد که نشانگر افزایش پیدا کردن دمای متوسط ایستگاه‌ها تحت تاثیر گرمایش جهانی است. در این نوشتار به دلیل محدود بودن تعداد صفحات فقط به بررسی روند تغییرات سری زمانی دمای متوسط ماه ژوئن اهواز تحت تاثیر گرمایش جهانی پرداخته می‌شود. اولین پدیده‌ای که در سری زمانی دمای متوسط ماه ژوئن اهواز به چشم می‌خورد؛ وجود نوسان  $6$  درجه سانتی‌گرادی دما می‌باشد. بیشترین افت دما در سال  $1967$  و بالاترین افزایش آن مصادف با سال  $1999$  می‌باشد که به ترتیب برابر با  $31$  و  $37$  درجه سانتی‌گراد بوده‌اند. نتایج حاصل از تحلیل‌های روند خطی نشان از وجود روند صعودی با شبیه زیاد در سری زمانی بلندمدت دمای ماه متوسط ژوئن اهواز دارد (شکل ۵). بررسی نمودار مقایسه‌ای گرمایش جهانی با دمای متوسط ژوئن اهواز نمایانگر ارتباط قوی و مثبت بین آن‌ها دارد. این امر مخصوصاً از سال  $1968$  چشم‌گیرتر بوده و بسیار مشخص می‌باشد؛ چرا که از آن سال به بعد هر دو دسته داده به نحو قابل توجهی روند افزایشی در پیش گرفته و صعود قابل توجهی داشته‌اند (شکل ۶).

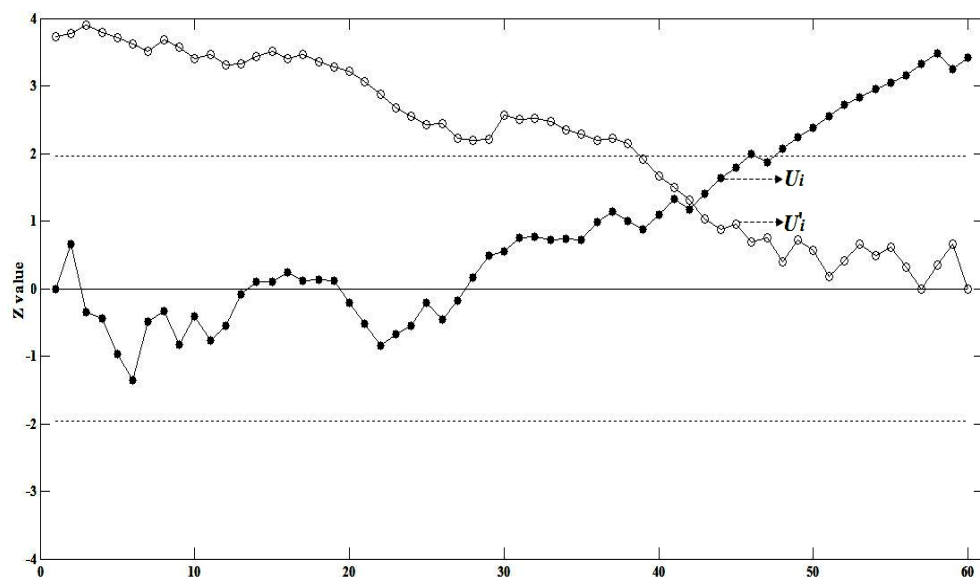


شکل ۵: نمودار سری زمانی ماه ژوئن دمای متوسط ایستگاه اهواز



شکل ۶: نمودار مقایسه‌ای ماه ژوئن دمای متوسط ایستگاه اهواز با گرمایش جهانی

براساس نتایج حاصل شده از آزمون من-کندال، به غیر از ماههای ژانویه و فوریه روند تغییرات صورت گرفته در دمای متوسط ایستگاه‌های مورد بررسی معنادار می‌باشند. (شکل ۷) نمودار من کندال دمای متوسط ماه سپتامبر کرمانشاه را نشان می‌دهد. طبق شکل ذکر شده در سال ۱۹۹۲ نقطه عطفی در دمای این ایستگاه دیده می‌شود و خطوط  $U_i$  و  $U'_i$  همدیگر را قطع کرده و از محدوده  $\pm 1/96$  خارج شده‌اند که گواهی بر معنادار بودن تغییر روند سری دمای این ایستگاه می‌باشد. دمای این ایستگاه دارای روند مثبت بوده که نشان از گرم شدن دمای آن دارد.



شکل ۷: نمودار من کندال ماه سپتامبر دمای متوسط ایستگاه کرمانشاه

## - دوره سرد

(جدول ۳) ضرایب همبستگی دوره‌های سرد و گرم دمای متوسط با گرمایش جهانی را نشان می‌دهد.

جدول ۳- ضرایب همبستگی دوره‌ای (سرد و گرم)، دمای متوسط ایستگاه‌های مورد مطالعه با گرمایش جهانی

ایستگاه	دسامبر تا مارس (دوره سرد)	ژوئن تا سپتامبر (دوره گرم)
آبادان	۰/۱۵*	۰/۳۶۱**
اهواز	۰/۲۱۸**	۰/۳۸۹**
انزلی	۰/۲۰۹**	۰/۱۳۴*
بابلسر	۰/۳۵۶**	۰/۳۳۹**
بوشهر	۰/۱۸۰**	۰/۳۳۸**
اصفهان	۰/۱۶۷**	۰/۱۵۴*
همدان	۰/۰۴۳	۰/۱۲۴
کرمان	۰/۱۷۳**	۰/۱۱۵
کرمانشاه	۰/۲۲۹**	۰/۲۸۴**
خرمآباد	۰/۰۷۵	-۰/۰۹۷
مشهد	۰/۳۰۰**	۰/۳۲۵**
ارومیه	۰/۱۲	-۰/۰۷۹
شهرورد	۰/۲۱۲**	۰/۲۹۰**
شیراز	۰/۲۱۶**	۰/۳۱۰**
تبریز	۰/۲۳۰**	۰/۲۶۴**
تهران	۰/۲۹۷**	۰/۲۶۲**
زاهدان	۰/۱۵۷*	۰/۱۴۷*

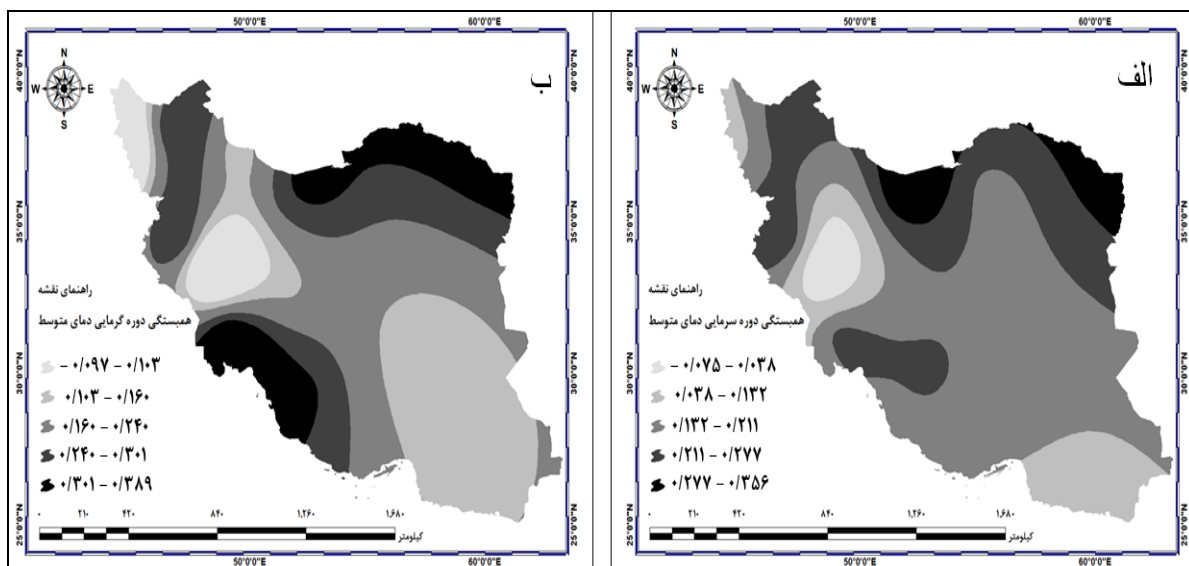
تحلیل همبستگی و وجود ارتباط معنادار دمای متوسط ایستگاه‌های مورد بررسی طی دوره سرمایی (دسامبر تا مارس)، با ناهنجاری‌های دمایی کره زمین نشان از ارتباط معنادار نه چندان قوی ایستگاه‌های مورد مطالعه دارد. در دوره سرد ایستگاه‌هایی همچون همدان، خرمآباد و ارومیه هیچ‌گونه رابطه معناداری با ناهنجاری‌های دمایی کره زمین نشان نمی‌دهند. بیشترین میزان تأثیرپذیری را ایستگاه بابلسر در دوره سرمایی دارد. ضریب همبستگی دمای متوسط دوره سرد بابلسر با گرمایش جهانی برابر با  $0/۳۵۶$  درصد با ضریب تعیین  $0/۱۳$  درصد می‌باشد و نقطه مقابل آن آبادان با ضریب همبستگی  $0/۱۵$  درصد با ضریب تعیین  $0/۰۲$  درصد دارای حداقل مقدار همبستگی با تغییرات دمایی کره زمین است.

## - دوره گرم

بررسی همبستگی دوره گرمایی دمای متوسط ایستگاه‌های مورد بررسی با ناهنجاری‌های دمایی کره زمین نشان از تأثیرپذیری بیشتر ایستگاه‌های جنوب‌غربی کشور دارد؛ که نسبت به دوره سرمایی گرمایش جهانی تأثیر بیشتری

روی دمای متوسط ایستگاه‌ها داشته است. در دوره گرمایی ایستگاه‌هایی همچون همدان، کرمان، خرمآباد و ارومیه فاقد رابطه معنادار با تغییرات دمایی کره زمین هستند. ایستگاه اهواز با مقدار ضریب همبستگی  $0.389$  درصد و ضریب تعیین  $0.15$  درصد دارای بیشترین همبستگی و ایستگاه انزلی با مقدار همبستگی  $0.134$  درصد و ضریب تعیین  $0.17$  درصد دارای کمترین ضریب همبستگی با ناهنجاری‌های دمایی کره زمین اند.

(شکل ۸) پراکندگی مکانی ضرایب همبستگی دوره سرد و گرم دمای متوسط ایستگاه‌های مورد بررسی با گرمایش جهانی را نشان می‌دهد. در دوره سرد نواحی شمال شرقی، شمالی و تا حدودی شمال‌غرب کشور تاثیر بیشتری از گرمایش جهانی پذیرفته و در دوره گرم نواحی شمال‌شرقی، نیمه شرقی خوز و جنوب‌غرب کشور دارای رابطه همبستگی بالا با گرمایش جهانی است.

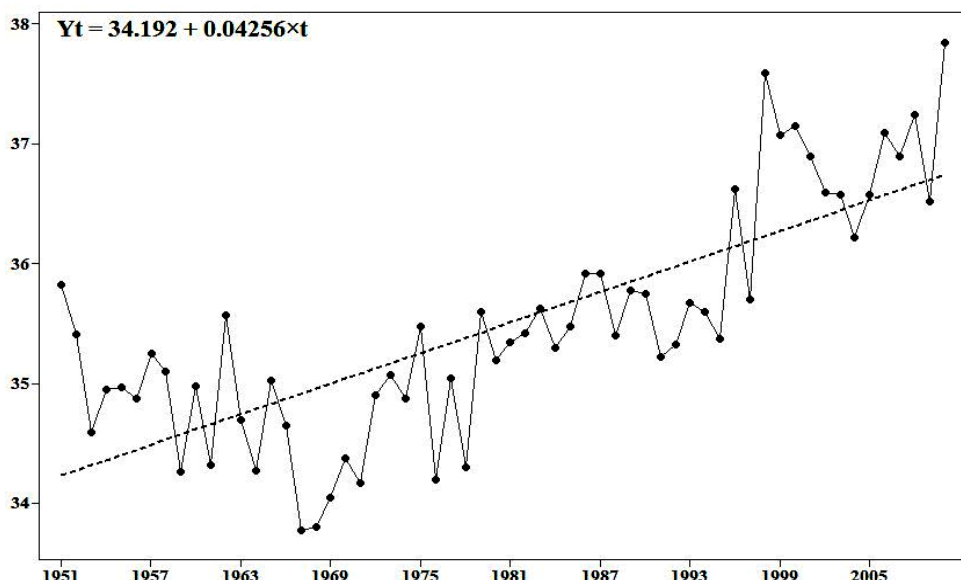


شکل ۸: پراکندگی مکانی میزان همبستگی الف: دوره سرد ب: دوره گرم دمای متوسط

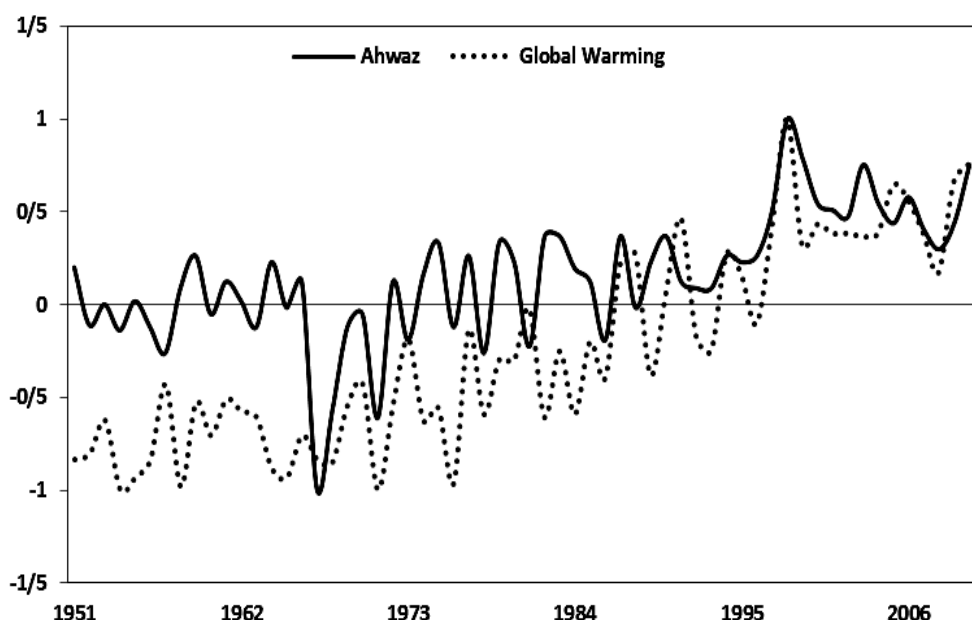
نتایج به دست آمده از تحلیل سری زمانی دمای متوسط دوره سرد و گرم، بیانگر افزایشی بودن دمای ایستگاه‌های مورد مطالعه تحت تاثیر گرمایش جهانی دارد. ناهنجاری‌های دمایی کره زمین تاثیری مستقیم و مثبت بر روی دمای دوره سرد و گرم ایستگاه‌ها داشته و باعث گرم شدن دمای آن‌ها شده است. در دوره سرد به غیر همدان، خرمآباد و ارومیه و در دوره گرم به جزء ایستگاه‌های ارومیه، خرمآباد، همدان و کرمان که هیچ‌گونه تاثیری از گرمایش جهانی پذیرفته‌اند، بقیه ایستگاه‌ها افزایش در دمای دوره سرد و گرم را تجربه می‌کنند. (اشکال ۷ و ۸) نمودار سری زمانی دمای دوره گرم ایستگاه اهواز و تغییرات دمای آن تحت تاثیر گرمایش جهانی را نشان می‌دهد.

دوره گرمایی این ایستگاه دارای نوسان  $4/1$  درجه سانتی‌گرادی می‌باشد. نوسان کمتر دمای دوره گرمایی این ایستگاه حاکی از بالا بودن پیوسته دما در این ایستگاه است. دمای اهواز در کوتاه‌مدت افت و خیزهای فراوانی را تجربه کرده، اما از سال ۱۹۷۰ به بعد تقریباً میزان کاهش دما در آن کمتر بوده و همواره روند صعودی را طی کرده است. فرآیند

ذکر شده بهخوبی از نتایج روند خطی قابل مشاهده است. دمای دوره گرم این ایستگاه با یک شیب ۵۸ درصدی در طول بازه مورد مطالعه روند افزایشی داشته که حاکی از گرم شدن دماهای گرم سال اهواز دارد (شکل ۹). با بررسی نمودار مقایسه‌ای دوره گرمایش جهانی و اهواز روند افزایشی بلندمدت دمای دوره گرمایی اهواز تا حد قابل توجهی توجیه می‌گردد. همان‌طور که از (شکل ۱۰)، پیداست دمای گرمایش جهانی نیز در دوره گرمایی آن همواره روند افزایشی داشته که این روند با دمای دوره گرمایی اهواز همخوانی قابل قبولی داشته و در بسیاری از دوره‌های مطالعاتی افزایش و کاهش گرمایش جهانی، افزایش و کاهش را در دمای اهواز به دنبال داشته است.

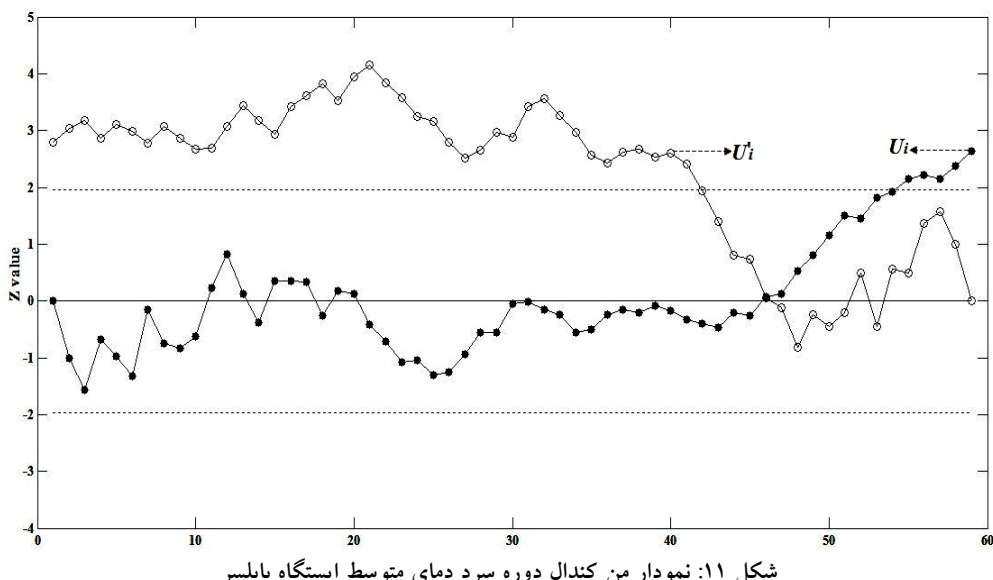


شکل ۹: نمودار سری زمانی دوره گرم دمای متوسط ایستگاه اهواز



شکل ۱۰: نمودار مقایسه‌ای دوره گرم دمای متوسط ایستگاه اهواز با گرمایش جهانی

تغییر روند صورت گرفته براساس نتایج حاصل شده از آزمون من-کندال در هر دو دوره سرد و گرم کاملاً معنی‌دار می‌باشد. (شکل ۱۱) نمودار گرافیکی من-کندال دوره سرمایی دمای متوسط ایستگاه بابلسر را نشان می‌دهد. براساس شکل ذکر شده در سال ۱۹۹۵ جهش (نقطه عطفی)، دمایی در روند سری دمایی بابلسر به وقوع پیوسته است. تغییر روند صورت گرفته به-دلیل قطع خطوط  $U_i'$  و  $U_i$  در داخل محدوده  $1/96 \pm$  و خروج خط  $U_i'$  از محدوده ذکر شده کاملاً معنادار بوده و دمای این ایستگاه در طول بازه مطالعاتی روندی مثبت را سپری کرده است این فرآیند بخصوص از سال ۱۹۷۵ به بعد کاملاً نمایان بوده که موجب افزایش دمای این ایستگاه شده است.



شکل ۱۱: نمودار من-کندال دوره سرد دمای متوسط ایستگاه بابلسر

### نتیجه‌گیری

پژوهش حاضر در جهت تحلیل ارتباط بین دمای متوسط کشور با ناهنجاری‌های دمایی کره زمین به انجام رسیده است. در بررسی دمای متوسط و ارزیابی تاثیر گرمایش جهانی بر روی آن پدیده‌ای که آشکارا قابل درک می‌باشد تأثیرپذیری اکثر ایستگاه‌های مورد مطالعه از پدیده گرمایش جهانی است. ناهنجاری‌های دمایی کره زمین تأثیر بسیاری را بر روی دمای متوسط کشور داشته و همه ایستگاه‌های مطالعاتی به غیر از ارومیه و خرم‌آباد روندی افزایشی در دمای متوسط را تجربه می‌کنند. بیشترین تأثیر گرمایش جهانی از ماه آوریل تا اکتبر مشاهده می‌گردد که در این بین ماه‌های تابستان نسبت به سایر ماه‌ها از رابطه معناداری بالایی برخوردار بوده که نشان از بالا رفتن دمای متوسط تابستانه دارد. فرآیند ذکر شده در بررسی‌های تحلیل سری زمانی و تغییر روند دمایی صورت گرفته نیز کاملاً مشهود بوده و تغییر روند صورت گرفته در بیشتر ماه‌ها کاملاً معنی‌دار بوده و تغییر در روند دمای متوسط صورت گرفته را تصدیق می‌کند. نتایج حاصل شده از تحلیل‌های دوره‌ای (سرد و گرم)، دمای متوسط گویای رابطه معنادار قوی دوره گرمایی نسبت به دوره سرد است. اگر چه تعداد ایستگاه‌های معنی‌دار در دوره سرد بیشتر از دوره گرم می‌باشد (دوره سرد ۱۴ ایستگاه و دوره گرم ۱۳ ایستگاه)، اما میزان رابطه معنادار دوره گرم قوی‌تر بوده و تغییر روند دمایی صورت گرفته در هر دو دوره براساس نتایج حاصل شده کاملاً معنادار می‌باشد. براساس نتایج حاصل شده

دماهی متوسط کشور در حال افزایش می‌باشد. فرآیند ذکر شده بیانگر افزایش پیدا کردن دمای شبانه و روز هنگام است. با شکل‌گیری این جریان میانگین دمای شبانه‌روزی افزایش پیدا کرده و زمستان‌های معتدل‌تر و تابستان‌های گرم‌تری را پیش رو خواهیم داشت که با توجه به نتایج بدست آمده امکان جایه‌جایی فصول در سال‌های آتی دور از انتظار نخواهد بود.

## منابع

- اسفندیاری درآباد، ف؛ عالی‌جهان، م؛ رحیمی، م؛ مهرورز، ا (۱۳۹۲)، «آشکارسازی آماری تأثیر پدیده گرمايش جهانی بر ناهنجاری‌های دبی حوضه رودخانه ارس»، *ژئومورفولوژی کمی*، شماره ۴، صص ۶۰-۴۳.
- بابایی، م. ر (۱۳۹۱)، «*هوشناسی نوین*»، تهران، انتشارات آیژ.
- ترابی آزاد، م؛ سیه‌سرانی، ا؛ افتخاری، ر (۱۳۸۹)، «آموزش جامع تحلیل گر زمین آمار نرم‌افزار Arc GIS»، تهران، سازمان جغرافیایی نیروهای مسلح.
- ثقیلیان، ب؛ دانش کار آراسته، پ؛ رحیمی بندرآبادی، س؛ فتاحی، ا؛ محمد زاده، م (۱۳۸۹)، «پیش‌نویس راهنمای روش‌های توزیع مکانی عوامل اقلیمی با استفاده از داده‌های نقطه‌ای»، وزارت نیرو و معاونت امور آب و آبفا دفتر مهندسی و معیارهای فنی آب و آبفا، *نشریه شماره ۳۶۱-الف*.
- خوشحال دستجردی، ج؛ قویدل‌رحیمی، ی (۱۳۸۷)، «کاربرد آزمون ناپارامتری من-کنдал در برآورد تغییرات دمایی مطالعه موردی: اصفهان»، *فضای جغرافیایی*، شماره ۲۲، صص ۳۸-۲۱.
- خوشحال دستجردی، ج؛ قویدل‌رحیمی، ی (۱۳۸۷)، «بررسی رابطه تغییرات بارش سالیانه تبریز با ناهنجاری‌های دمایی کره زمین و شبیه‌سازی عددی آن با استفاده از شبکه عصبی مصنوعی»، *فصلنامه مدرس علوم انسانی*، شماره ۱۲، صص ۵۱-۲۹.
- خوش‌اخلاق، ف؛ غربی، ا؛ شفیعی، ز (۱۳۹۰)، «نگرشی بر تغییرات حداقل‌های مطلق دما در پهنه ایران‌زمین»، *جغرافیا و برنامه‌ریزی محیطی*، شماره ۴۲، صص ۱۹۹-۲۱۶.
- رحیم زاده، ف؛ عسگری، ا؛ فتاحی، ا؛ محمدیان، ن؛ تقی پور، ا (۱۳۸۸)، «رونندهای حدی اقلیمی دما در ایران طی دوره ۱۹۵۱-۲۰۰۳»، *تحقیقات جغرافیایی*، شماره ۹۳، صص ۱۴۴-۱۱۹.
- عزیزی، ق؛ روشنی، م (۱۳۸۶)، «مطالعه تغییر اقلیم در سواحل جنوبی دریای خزر به روش من-کنдал»، *پژوهش‌های جغرافیایی*، شماره ۶۴، صص ۲۸-۱۳.
- علیجانی، ب؛ قویدل رحیمی، ی (۱۳۸۴)، «مقایسه و پیش‌بینی تغییرات دمای سالانه تبریز با ناهنجاری‌های دمایی کره زمین با استفاده از روش رگرسیون خطی و شبکه عصبی مصنوعی»، *جغرافیا و توسعه*، شماره ۳۶، صص ۳۸-۲۱.
- محمدی، ح؛ تقی، ف (۱۳۸۳)، «روند شاخص‌های حدی دما و بارش در تهران»، *پژوهش‌های جغرافیایی*، شماره ۳۵، صص ۱۷۲-۱۵۱.
- ورشاویان، و؛ خلیلی، ع؛ قهرمان، ن؛ حجام، س (۱۳۹۰)، «بررسی روند تغییرات مقادیر حدی دمای حداقل، حدکثر و میانگین روزانه در چند نمونه اقلیمی ایران»، *فیزیک زمین و فضا*، شماره ۱، صص ۱۷۹-۱۶۹.
- Bani-Domi, M., (2005), "Trend analysis of temperatures and precipitation in Jordan", Umm Al-Qura University, *Journal of Educational, Social Sciences & Humanities*, 17: 15-36.

- Bartholy, J., Pongrácz, R., (2007), "Regional analysis of extreme temperature and precipitation indices for the Carpathian Basin from 1946 to 2001", *Global and Planetary Change*, 57: 83–95.
- Brunettia, M., Buffo nib, L., Mangiantic, F., Maugeria, M., Nannid, T., (2003), "Temperature, precipitation and extreme events during the last century in Italy", *Global and Planetary Change*, 40: 141–149.
- Chaouche, K., Neppel, L., Dieulin, C., Pujol, N., Ladouce, B., Martin, E., Salas, D., Caballero, Y., (2010), "Analyses of precipitation, temperature and evapotranspiration in a French Mediterranean region in the context of climate change", *Surface Geosciences (Hydrology-Hydrogeology)*, 342: 234-243.
- Gadgil, A., Dhorde, A., (2005) "Temperature trends in twentieth century at Pune, India", *Atmospheric Environment*, 39: 6550–6556.
- NOAA, (2017), "National centers for environmental information, state of the Climate: global analysis for annual 2016", [on line]: <http://www.ncdc.noaa.gov/sotc/global/201613>.
- Tomecek, S., (2012), "*Global Warming and Climate Change*", New York: Chelsea House Press.
- Turkes, M., Sumer, U. M., Demr, S., (2002), "Re-evaluation of trend and in Mean, Maximum and Minimum temperature of Turkey for period 1929-1999", *International Journal of Climatology*, 22: 947-977.
- Yang, X. L., Xu, L. R., Liu, K., Li, C. H., Hu, J., Xia, X. H., (2012), "Trend in temperature and precipitation in the Zhangweinan river basin during the last 53 Years", *Procedia Environmental Sciences*, 13: 1966–1974.